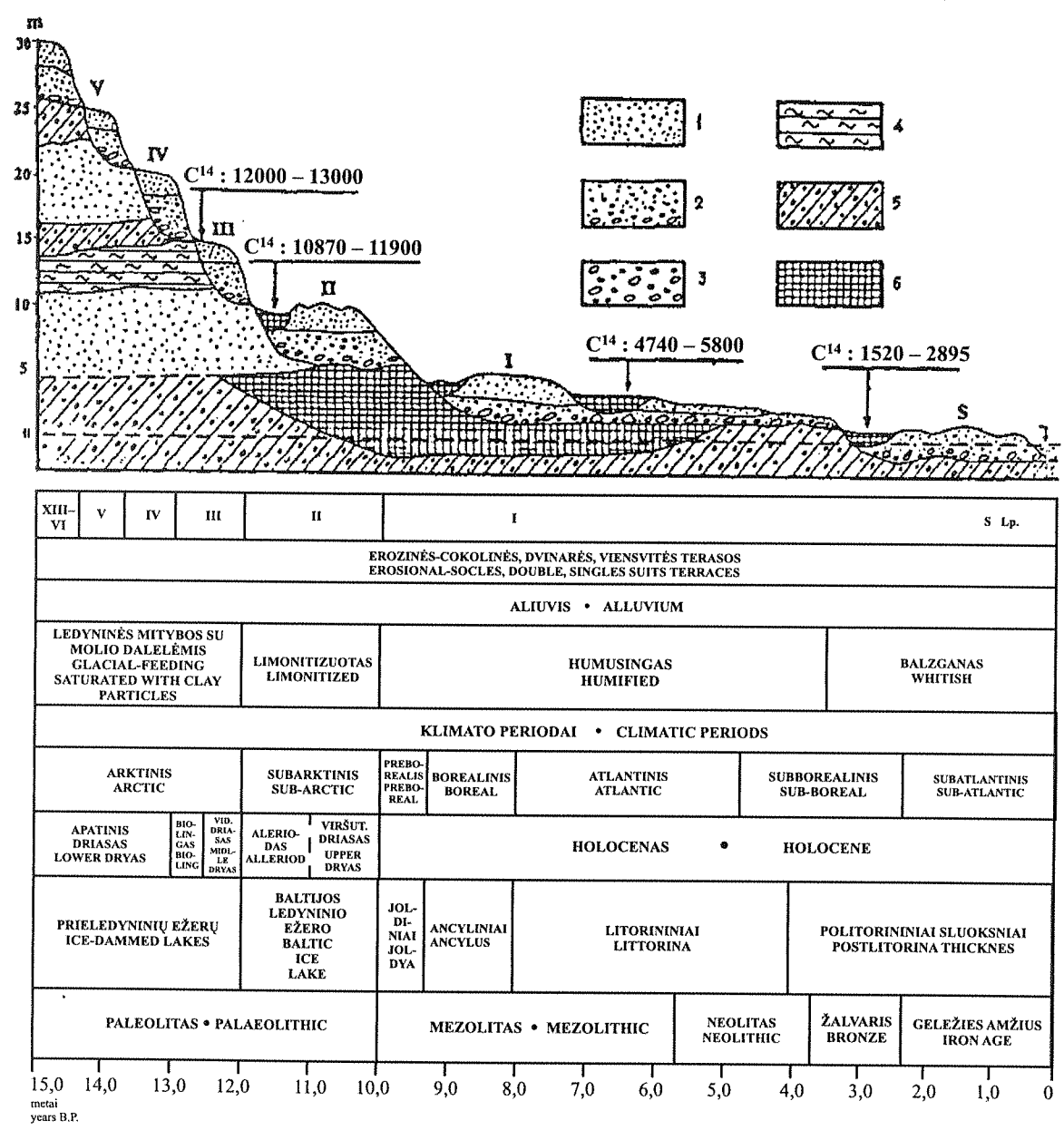


Spektrogramų metodas šiuo metu yra vienas patikimiausių. Jo pagalba galima patikrinti ir nustatyti upių terasų kilmę ir raidą bet kuriame glacigeniniame kraštovaizdyje. Ateityje spektrogramos bus papildytos dar ir archeologiniais duomenimis.

Aprašant stovyklavietes, būtina žinoti, kad Nemuno, Merkio, Ūlos ir kituose Pietų Lietuvos upių slėniuose, remiantis vien tik kartografine medžiaga, negalima išskirti visų apatinio, vidurinio ir viršutinio komplekso terasų. Reliatyvūs terasų aukščiai neparodo jų faktinės morfogenetinės. Tam reikalui buvo vykdomi lauko tyrimai Nemuno – Jonioniu, Maksimoniu, Netiesu atodangose, Merkio, Ūlos ir Grūdos slėniuose (Zervynu, Pamerku, Smalininku, Puvočiu, Rudnios, Kašetu ir kt. apylinkėse). Nustatyti terasų reliatyvūs aukščiai, pločiai, jų morfogenetiniai požymiai, aliuvio cokolių aukščiai, struktūrų ir tekstūrų ypatumai. Terasų reliatyvūs aukščiai: salpa – 0,6–3,2 m, I – 3–5 m, II – 7–12 m, III – 12–17 m, IV – 18–22 m, V – 23–27 m, VI – 28–32 m, VII – 32–37 m. Vietomis terasų aukščiai yra deformuoti upių pavasario potvynio vandens arba vėjo. Taigi galimi atvejai, kai skirtingo amžiaus terasos yra vienodo aukščio, ir tai gali suklaudinti tyrinėtojus (1.45 pav.).



1.45 pav. Pietų Lietuvos upių slėnių apibendrinta schema. 1—smelis, 2—zvyras, 3—gargždas su rieduliais, 4—juostuotas molis, 5—moreninis priemofis, 6—sapropelis (Dvareckas, Gaigalas, 1995)

Fig. 1.45. Averaged scheme of South Lithuanian river valleys. 1—sand, 2—gravel, 3—pebbles, boulders, 4—varved clay, 5—morainic loam, 6—sapropel (Dvareckas, Gaigalas, 1995)

Vyrauja erozinės-cokolinės, o ne akumuliacinės terasos, kaip anksčiau buvo manyta. Tai patvirtina terasų cokolių aukščiai (Dvareckas, 1989, 1993, 1994, 1995). Nemuno terasų (Jonioniu, Maksimoniu ir Netiesu) cokolių struktūrą sudaro paskutiniojo tarpledynmečio organogeniniai dariniai, o Merkio ir Ūlos – moreneninis priemolis, fluvioglacialinis zvyras, smėlis. Terasų aliuvio storis normalus (2–5 m), salpos aliuvis yra stipriai praplautas, I viršsalpinės terasos aliuvis – humifikuotas, II – limonitizuotas, III ir aukštesnių – prisotintas molingomis dalelėmis.

Tai patvirtina, jog terasos formavosi esant skirtingoms paleogeografinėms sąlygomis. Viršutinio ir vidurinio komplekso terasos dažnai yra lokalios, o apatinio – ištisinės. Viršutinio ir vidurinio komplekso terasų aliuvyje yra buvusių ledo kylų formos pleisti, kurie užpildyti smulkiagrudžiu smėliu. Jų šlaitai stipriai paveikti soliflukcijos, išraižyti raguvų. Terasų paviršiuje pastebimi termokarstinės kilmės liekaniniai ezerai ir regeneruotos rinos. Antrųjų terasų paviršiuje gausu kopų, o pirmųjų – sausų senvagių. Terasos aliuvyje randama palaidotų ažuolų kamienų. Juos naudojo (ir naudoja) baldams gaminti, o senvagių sapropeli sumaišę su moliu lipdydavo puodus. Salpinės terasų cokoliai yra panirę po vandens lygiu upėje. Jų terasų paviršiai nelygūs, deformuoti pavasarinių potvynių. Visos terasos turi žemesnį, vidutinį ir aukštesnį lygi. Ties upės vagų posūkiais terasų aukščiai paaugštėja, aliuvis stambėja. Tai priklauso nuo upės vagos hidrologinio režimo. Stovyklaviečių padėciai daugiau įtakos turėjo ledo luitų tirpimas, termokarsto reiškiniai ir vietiniai ežerų lygių svyravimai.

Lietuvoje surastas akmens amžiaus stovyklavietes siūlome morfogenetiškai suskirstyti į 6 pagrindines grupes: 1) prieledyninės marios, viršutinio komplekso fluvioglacialinės terasos, zandrai, 2) pralaužtiniai slėniai, jungiantys marias (XIII–VI terasos), 3) upių slėnių vidurinio komplekso fluvioglacialinės terasos (V–IV), 4) upių slėnių apatinio komplekso terasos (III–II), 5) pirmosios ir salpinės terasos. Pirmos, antros ir trečios grupės stovyklaviečių skaičius gerokai mažesnis negu ketvirtos ir penkto.

Archeologinių kultūrų fiksavimą turi lydėti upių terasų cokolio ir aliuvio spektrogramų sudarymas, radiokarboninio amžiaus nustatymas, sporų ir žiedadulkų analizė, sedimentogenezės cikliškumo dešifravimas ir kiti geomorfologiniai tyrimai.

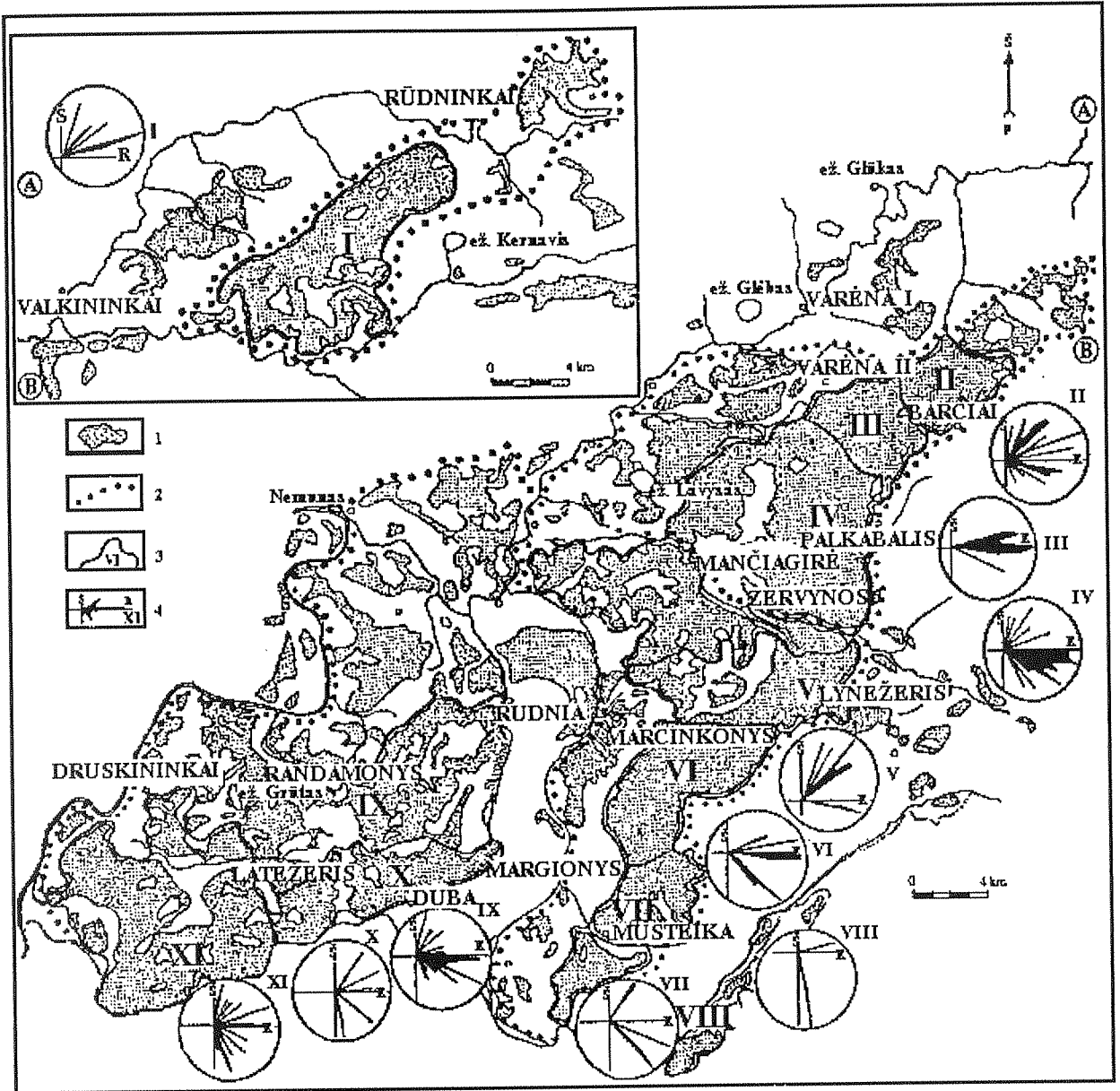
Išvados

1. Pietų Lietuvos upių slėniai yra tamprai susiję su paskutiniojo ledyno deglaciacija.
2. Rinos, kaip upių slėniai, formavosi kirsdamos kraštinių darinių lankus. Igaubtuose ledyno briaunos šlaituose jo tirpsmo vandenys plyšiai tekėjo senslėnio link, o išgaubtuose – ledyno atsitraukimo kryptimi. Rinos néra dubakloniai, o atkurtų paleoupių atkarpos. Rinose randamos paleolito stovyklavietės.
3. Merkio baseino upių žemupių išgaubtos formos patvirtina, jog upėse dabartiniu metu intensyviau vyksta gilinamoji erozija.
4. Terasų aliuvio ir cokolio spektrogramos rodo, kad terasos yra erozinės-cokolinės struktūros.
5. Archeologiniai tyrimai turėtų remties geologine, geomorfologine ir paleogeografinė medžiaga.
6. Spektrogramų metodas yra vienas patikimiausių, kuri ateityje papildys dar ir archeologiniai duomenys. Jis patikimiau datuos akmens amžiaus stovyklaviečių paplitimą. Ateityje daugiau dėmesio reikėtų skirti tekstūrų analizei, prieledyninių marių atabradų išskyrimui ir geomorfologinio žemėlapio analizei.

1.8. Eolinių darinių susidarymo ir paplitimo ypatybės

Tyrinėjimų metu buvo atkreiptas dėmesys į paplitusius paviršinius eolinius darinius, kurių susidarymo laikas sutapo su pirmųjų gyventojų iškūrimu Lietuvoje. Orografiniu požiūriu šis eolinių reljefo formų ruožas yra Pietryčių (Dainavos) smėlingoje lygumoje, išspraudusioje tarp skirtingo amžiaus moreneninių kalvynų. A. Basalykas šį kopų ruožą suskirstė į keturis stambius kopų masyvus, kuriuos skiria Merkio, Šalčios, Ūlos ir Grūdos upių slėniai (Basalykas, 1958, 1965). Tai Rūdninkų, Varėnos, Marcinkonių ir Ratnyčios-Randamonų masyvai, besiskiriantys reljefo formomis bei jų išsidėstymu (1.46 pav.). Šiuose kopų masyvuose ir koncentravosi visi vėlesni eolinio reljefo tyrimai, kurie aprašyti H. Kristapavičiaus (1960, 1961, 1962), R. Kunsko (1969, 1984), A. Seibučio (1974), V. Gudelio ir R. Vaitonienės (1974a, 1974b, 1975, 1976), A. Basalyko (Bacalikas 1987), V. Dvarecko ir R. Morkūnaitės (1996) publikacijose. Senųjų kontinentinių kopų tyrimams labai naudingi šiuo metu besiformuojančių kopų stebėjimai Lietuvos pajūryje (Гуделис, Михайлюкайте, 1976).

Tyrimo metodika. Minėtuose kopų masyvuose buvo parinkta 11 mažesnių tyrimo plotų, kurie dažniausiai sutampa su R. Vaitonienės išskirtais ir tirtais sklypais (1975), – tai Rūdninkų, Barčių, Varėnos, Palkabalo, Lynežerio, Marcinkonių, Musteikos, Katros, Randamonių, Dubo ir Latežerio eoliniai plotai (1.46 pav.).



1.46 pav. Pietų Lietuvos eolinių masyvai ir tirti plotai. 1 – eolinių nuogulų paplitimo vieta; 2 – kopų masyvo riba (Basalykas, 1965); 3 – tarto eolinio ploto riba ir numeris (I – Rūdninkų, II – Barčiai, III – Varena, IV – Palkabalis, V – Lynežeris, VI – Marcinkonių, VII – Musteikos, VIII – Katros, IX – Randamony, X – Dubas, XI – Latežeris); 4 – kopų keteros statmens rožė ir ploto numeris

Fig. 1.46. Aeolian belt, massif and areas of South Lithuania studied. 1 – areal range of aeolian deposits; 2 – boundary of dune massif (Basalykas, 1965); 3 – boundary and number of aeolian area studied (I – Rūdninkai, II – Barčiai, III – Varena, IV – Palkabalis, V – Lynežeris, VI – Marcinkony, VII – Musteika, VIII – Katra, IX – Randamony, X – Dubas, XI – Latežeris); 4 – rose of perpendiculars drawn to dune ridge and area number

Morfometriniai duomenys apie kopas buvo imti iš topografinių žemėlapių M1:25 000. Išmatuoti 966 stambesnių kopų parametrai: kopų papédės ir viršūnės absolitus aukštis, kopų santykinis aukštis ir keteros ilgis, keteros statmens pavėjine kryptimi azimutas, kopų atšakų skaičius, kopų atstumas nuo žemėlapio (M1:200 000) vakarinio ir pietinio pakraščio. Statistiniam apibendrinimui keteros statmens azimuto reikšmės buvo dar sugrupuotos į keturis sektorius, kurių eilės numeriai didėjo pietų link. Tuomet buvo atliktas parametrų statistinis apibendrinimas (1.15 lentelė) ir koreliacinė analizė, tiek viso eolinio ruožo (966 kopų),

1.15 lentelė. Pietų Lietuvos eolinių plotų stambesniųjų kopų apibendrintos charakteristikos (maksimali, minimali ir vidurkinė reikšmės)

Table 1.15. Generalized characteristics (maximum, minimum and mean) of South Lithuanian large dunes

Kopos parametrai	Eoliniai plotai ir matuotų kopų skaičius										
	Rūdninkų (70)	Barčių (107)	Varėnos (90)	Palkabalo (169)	Lynežerio (55)	Marcinkonių (55)	Musteikos (36)	Katros (44)	Randamonių (107)	Dubo (66)	Latežerio (167)
Papédės absolitus aukštis (m)	155–128 146	175–135 152	150–120 140	150–100 134	150–100 130	145–130 138	140–128 135	135–130 132	140–118 129	145–120 133	138–103 124
Viršūnės absolitus aukštis (m)	168–133 151	180–139 157	158–123 145	160–110 139	160–105 135	150–133 143	153–132 140	141–131 135	150–123 134	151–122 136	145–105 129
Santykinis aukštis (m)	18–1 4,6	15–1 4,8	13–1 4,3	20–2 5,3	20–1 5,6	12–2 5,0	13–1 4,9	6–1 2,5	10–2 4,6	8–1,5 3,6	18–1 4,6
Pagrindinis keteros ilgis (m)	1525–125 551	1125–200 407	1100–150 393	1750–150 382	3000–125 431	1250–200 516	1600–160 482	1000–100 329	1250–150 450	1875–125 458	1500–125 430

tieki ir atskirų eolinių plotų (1.47 pav.). Buvo apskaičiuoti poriniai koreliacijos koeficientai, Spirmeno bei Kendalo ranginiai koreliacijos koeficientai (Справочник, 1983). Kadangi esminiu skirtumų tarp šių koeficientų nepastebėta, poskyris iliustruojamas tik porinių koreliacijos koeficientų matricomis (1.47 pav.). Koreliacijos koeficientai, rodantys dvių kintamųjų sąryšį, svyruoja nuo –1 iki +1. Teigiami koeficientai liudija tiesioginių parametru sąryšį, kai vienam iš jų didėjant didėja ir kitas. Neigiami koeficientai, priešingai, rodo atvirkščią priklausomybę. Kopų vidinė sandara buvo tiriana labai negausiose atodangose ir karjeruose, taip pat 1–1,5 m gylio šurfuose, aprašant nuogulą, išmatuojant slūgsojimo elementus ir paimant mėginius. Siekiant nustatyti eolinių darinių paplitimo ir geologinės gelmių sandaros ryšį, buvo analizuojami ir gretinami gravimetriniai, magnetometriniai, tektoniniai, struktūriniai ir kitokie žemėlapių. Lokalioms struktūroms išryškinti buvo naudojama liekaninių anomalijų metodika: paviršius „nupjaunamas“ plokščumine kryptimi („išimamas“ grimzdimo fonas), o lokalios struktūros nustatomos pagal liekanines altitudžių reikšmes – faktinės sluoksnio altitudės ir plokščumos altitudės skirtumą. Taip buvo sudarytas Pietų Lietuvos kristalinio pamato paviršiaus pirmos eilės liekaninių struktūrinių anomalijų žemėlapis (Baltrūnas ir kt., 1998).

Kopų koreliacinė analizė. Viso Pietų Lietuvos eolinio ruožo (966 kopų) koreliacinė analizė rodo, kad jam būdingi kai kurie koreliacinių ryšiai (KR). Teigiamas ir stiprus KR tarp kopų sąlyginių koordinataių rodo dėsningą kopų išsidėstymą iš pietvakarių į šiaurės rytus, o tai ir anksciau buvo akivaizdu (1.47 pav.). Kopų papédės ir viršūnės absolitus aukštis turi taip pat teigiamą stiprų tarpusavio KR ir su sąlyginėmis koordinatėmis. Tai patvirtina jau žinomą regioninį dėsningumą apie eolinių darinių absolitaus aukščio didėjimą šiaurės rytų kryptimi. Natūralūs yra teigiami KR tarp kopų santykinio aukščio, keteros ilgio ir šakotumo. Pastebimas neigiamas KR tarp kopų keteros statmens azimuto (ar sektoriaus numerio) ir kopų absolutaus aukščio bei sąlyginių koordinataių. Tai liudija dalies azimuto reikšmių atspindinčių kopas pusčiusių vėju vyraujančią kryptį, kitimą nuo dažnų šiaurrytinės atskirose eolinio ruožo dalyse.

Kopų parametrų KR atskiruose eoliniuose plotuose pasižymi kai kuriomis specifinėmis ypatybėmis, kurių analizė padeda tiksliau atskurti viso eolinio ruožo, jo masyvų ir atskirų plotų paleogeografinę raidą. Pirmiausia į akis krenta kopų sąlyginių koordinataių KR, kurie kinta nuo labai tvирto teigiamo Katros pakrantėse iki neigiamo Lynežerio plete. Vyraujantys teigiami KR liudija apie senųjų kontinentinių kopų išsidėstymą tūtuoose plotuose iš pietvakarių į šiaurės rytus, nors ir ne visur ryškiai. Be abejo, tam tikros įtakos turėjo ir matuotų kopų parinkimas. Pagal kopų koordinataių ir absolutaus aukščio KR skiriamos trys plotų grupės: 1 – Rūdninkų, Katros, Dubo, iš dalies Varėnos ir Palkabalo su teigiamais KR; 2 – Marcinkonių, Latežerio, Lynežeris ir Musteikos su neryškiais ar neigiamais KR; 3 – Barčių ir Randamonių su teigiamais ir neigiamais KR. Šiuos KR galima traktuoti kaip perpustyto ar užpustyto pagrindo bei grunitinio vandens lygio įtaką, taip pat ankstesnio ar vėlyvesnio eolinio proceso požymį. Kopų santykinio aukščio ir keteros ilgio teigiami KR rodo eolinių procesų didelį intensyvumą, kurio ilgesnė trukmė fiksuojama papildoma teigiamais KR su kopų šakotumu bei koordinatėmis. Kopų keteros statmens pavėjine kryptimi azimuto nelabai stiprus, bet teigimas KR pastebimas su kopų šakotumu (Rūdninkų, Palkabalo, Marcinkonių, Musteikos plotai), rečiau su viršūnės (Palkabalo plotas) ir papédės (Randamonių plotas) absoliučiu aukščiu.

PIETŲ LIETUVOS EOLINIŲ DARINIŲ RUOŽAS

A	B	C	D	E	F	G	H	I
97	27	39	-6	92	2	-16	46	
3	12	-7	-4	0	-6	-1		
2	-13	-5	37	-6	-14			
-12	-12	14	-10	-14				
-11	-3	1	0					
-7	48	7						
50	58							N - 966
59								

LYNEŽERIO PLOTAS

A	B	C	D	E	F	G	H	I
84	43	32	-3	92	7	3	-59	
-3	-3	3	-8	-1	-3	-15		
-21	-2	6	13	7	-1			
0	1	-2	-6	-5				
2	-25	-10	-5					
-29	12	7						N - 55
17	2							
0								

MARCINKONIŲ PLOTAS

A	B	C	D	E	F	G	H	I
74	59	29	-4	94	20	-26	66	
-9	7	-22	2	22	10	-12		
-14	-27	-16	20	5	-8			
-14	-23	-1	12	-12				
-15	-5	-11	0					
-5	12	-4						
-5	-14							N - 55
-14								

MUSTEIKOS PLOTAS

A	B	C	D	E	F	G	H	I
79	67	30	-4	94	4	13	88	
27	33	-25	-5	13	7	12		
-2	-13	-26	48	14	5			
2	-9	30	-5	12				
6	14	0	-15					
-4	-2	6						
10	-3							N - 36
3								

KATROS PLOTAS

A	B	C	D	E	F	G	H	I
92	56	9	-6	90	-11	-6	98	
20	-5	-30	-22	-12	7	-5		
-11	-31	-36	38	13	5			
-23	-32	-3	-10	10				
-21	0	14	-11					
2	55	18						
58	58							N - 44
60								

RANDAMONIŲ PLOTAS

A	B	C	D	E	F	G	H	I
93	26	8	-2	90	-1	1	51	
-8	-5	-16	-1	2	11	0		
8	9	-10	41	18	18			
15	13	18	-6	22				
16	5	-8	0					
0	49	7						
53	-5							N - 107
-8								

LATEŽERIO PLOTAS

A	B	C	D	E	F	G	H	I
95	33	38	-3	90	6	1	20	
5	11	-5	4	-3	-14	16		
0	-8	-2	40	-15	-8			
-7	-8	16	17	-3				
-7	-11	16	7					
-17	1	7						
-3	-75							
-82								N - 167

DUBO PLOTAS

A	B	C	D	E	F	G	H	I
96	26	24	-13	92	-17	-7	71	
1	17	-11	-17	-18	-11	-8		
11	-22	-8	55	-7	-31			
-20	-23	29	16	-27				
-22	-9	4	5					
-16	60	0						
/	61	32						N - 66
	33							

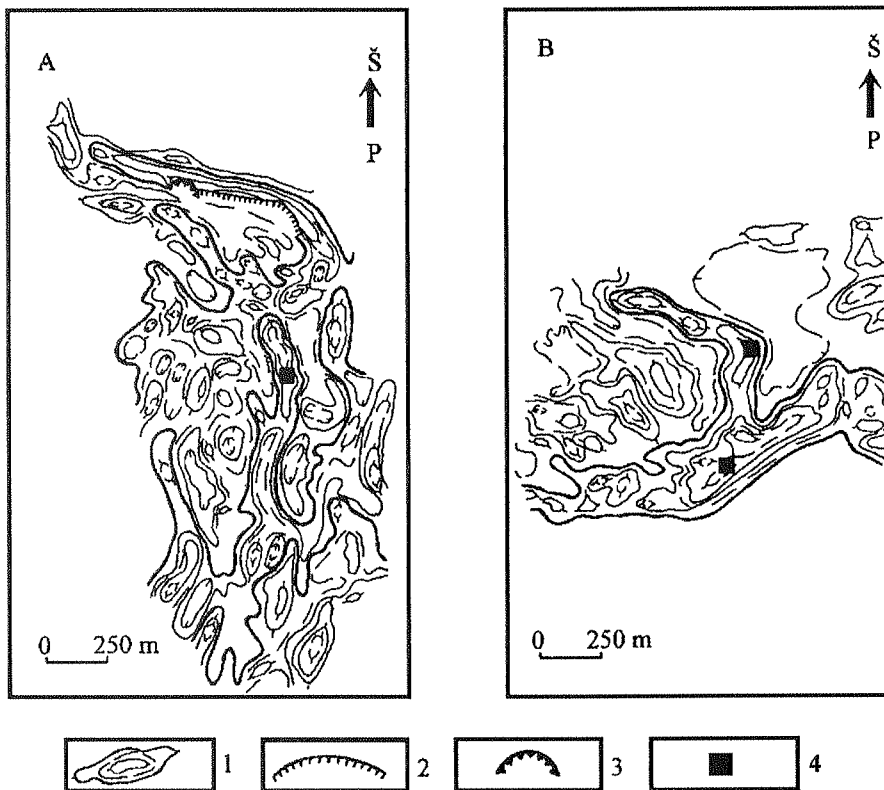
RŪDNIKŲ PLOTAS

A	B	C	D	E	F	G	H	I
82	54	72	8	93	18	-14	76	
-2	48	-3	8	16	-8	-22		
8	-18	-1	49	-4	-15			
-19	-23	38	7	9				
-26	0	-17	-6					
-25	32	-16						
50	44							N - 70
64								

BARČIŲ PLOTAS

A	B	C	D	E	F	G	H	I
96	58	35	-1	93	-13	-22	51	
35	34	-1	5	-12	3	6		
28	5	2	-3	1	-16			
6	9	-7	34	-12				
10	-22	26	2					
-23	57	-11						

Kopų vidinė sandara. Tenka pripažinti, kad kopų vidinė sandara tiek senųjų kontinentinių kopų masyvuose, tiek ir šiuo metu besiformuojančių eolinių darinių plotuose yra menkai pagrįsta pjūvių tyrimais. Pagrindinė priežastis – senųjų kopų miškingumas ir dėl to negausūs kasybos darbai. Todėl labai informatyvi yra šiuo metu plečiamas Varėnos buitinė atliekų sąvartyno šviežiai iškasta vakarinė dalis, esanti 4,5–5,0 km į rytus nuo Varėnos geležinkelio stoties (1.49 pav., A). 6–8 m aukščio siekiančioje ir su kopagūbrio ketera sutampančioje sienelėje atsidengia beveik visas vidinis pjūvis. Barčių plote esančio kopagūbrio ketera yra ištisusi 290° azimutu ir tik rytiniame gale kopagūbris staigiau pasisuka pietų link ir nutrūksta. Iš šiaurė ir šiaurės rytus nukreipto pavejinio šlaito polinkis $-12\text{--}16^{\circ}$, o priešvėjinio $-6\text{--}8^{\circ}$. Karjero sienelės viršutinėje dalyje atsidengia 4–5 m sluoksniuota vidutinio (tamsesnio) ir smulkaus (šviesesnio) nekarbonatingo smėlio storymė, kurioje matyti $0,3\text{--}1,0$ m storio pluoštai su šiek tiek skirtinga sluoksniuotumo polinkio kryptimi bei kampu. Iš viršaus į apačią: Az $0^{\circ} < 28^{\circ}$, Az $10^{\circ} < 12^{\circ}$, Az $10^{\circ} < 14^{\circ}$, Az $350^{\circ} < 12^{\circ}$, Az $0^{\circ} < 10^{\circ}$, Az $0^{\circ} < 6^{\circ}$. Kitame, žemesniame 50 m į vakarus pjūvyje sluoksniuotumas kitoks: Az $90^{\circ} < 12^{\circ}$, Az $90^{\circ} < 10^{\circ}$, Az $85^{\circ} < 10^{\circ}$, Az $90^{\circ} < 6^{\circ}$, Az $90^{\circ} < 10^{\circ}$. Karjero sienelės apatinėje dalyje eolinis smėlis įvairiai grūdėtas (vyrauja vidutinis ir smulkus), su tokiais slūgsojimo elementais: Az $65^{\circ} < 23^{\circ}$, Az $80^{\circ} < 24^{\circ}$, Az $75^{\circ} < 6^{\circ}$. Į apačią jis palaipsniui pereina į horizontaliai sluoksniuota, smulkų ir smulkutę, nekarbonatingą limnoglacialinį smėlį.



1.49 pav. Kopų, kuriose buvo tirtos eolinės tekštūros, morfologija ir hipsometrija (A – Barčiai plote, B – Musteikos plote). 1 – reljefo izolinija, 2 – rekultivuotas sąvartynas, 3 – naujas sąvartynas, 4 – surfas

Fig. 1.49. Morphology and hypsometry of dunes in which aeolian textures were studied (A – in Barčiai area, B – in Musteikos area). 1 – relief isoline, 2 – recultivated dump, 3 – new dump, 4 – dug hole

Kaip matyti iš pateikto pjūvio aprašymo, visa eolinio smėlio storymė buvo supustyta nemažiau trijų vyraujančių vėjo krypcijų, kurių vėliausioji suformavo paties kopagūbrio dabartinę orientaciją ir paviršinio sluoksniuotumo pobūdį. 800 m į pietus ir pietryčius nuo aprašytojo pjūvio, griežtai iš šiaurės į pietus orientuotame kopagūbryje, 0,5 m žemėliau keteros statesniojo rytinio šlaito link iškastame 1,5 m gylio šurfe konstatuotas smulkaus, gerai išrūšiuoto, nekarbonatingo smėlio neryškus $2^{\circ}\text{--}12^{\circ}$ polinkio sluoksniuotumas su vyraujančiu apie 70° polinkio azimutu ir nuo 10° iki 22° polinkio kampu.

Kitas eolinio sluoksniuotumo pavyzdys pateikiamas iš Musteikos ploto (1.49 pav., B). Taisyklingos parabolinės kopos, esančios 2 km į pietvakarius nuo Musteikos kaimo kryžkelės ir savo statesniuoju šlaitu nukreiptos link rytų ir šiaurės rytų, viršutinėje dalyje buvo iškasti du 1 m gylio šurfai. Šurfe, iškastame 2 m žemėliau keteros į statesniojo (16°) šlaito puse, aprašytas smulkas ir smulkutis, gerai išrūšiuotas smėlis su

apie 90° polinkio azimutu ir $12^{\circ}\text{--}18^{\circ}$ polinkio kampu. Kitame šurfe, esančiam 0,5 m žemėliau keteros į lėkštesniojo ($6^{\circ}\text{--}8^{\circ}$) šlaito puse, analogiško smėlio neryškus sluoksniuotumas palinkęs $260^{\circ}\text{--}280^{\circ}$ azimutu ir $2^{\circ}\text{--}6^{\circ}$ kampu. Prie pietinio kopos galos prišlieto šiaurės vakarų krypties kopagūbrio viršutinėje analogiško smėlio storymėje pastebėtas ir išmatuotas $2^{\circ}\text{--}12^{\circ}$ polinkio neryškus sluoksniuotumas pietų kryptimi.

Apibendrinant tekštūrų matavimų duomenis, galima padaryti kelias išvadas. Svarbiausia, matyt, yra tai, kad tik kopos pilnas vidinis pjūvis gali atskleisti ją formavusių eolinių procesų ypatybes. Kopų paviršinės dalies tekštūrų tyrimai rodo tik baigiamosios akumuliacinės fazės ypatybes. Pastaruoju atveju dvi aplinkybės gali komplikuoti paleogeografinių sąlygų atkūrimą. Viena jų susijusi su dažnu deflacijos reiskiniu, kuris tam tikrais kopų formavimosi etapais atidengia senesniųjų akumuliacijos fazų sluoksnius kopų paviršiuje. Kita aplinkybė sietina su negiliai esančių pirminių tekštūrų sunaikinimu infiltracinių, išalo, fizinio ir cheminio dūlėjimo, dirvodaros procesų metu, ypač esant neryškioms pirminėms tekštūroms vienodo smėlio storymėje.

Išvados

1. Tirti Pietų Lietuvos eoliniai plotai yra nevienamžiai ir susidarė limnoglacialinių smėlių pagrindu dėl skirtingos krypties vėju, nevienodos trukmės eolinių procesų bei kintančio gruntu vandens lygio poveikio.

2. Eolinių darinių paleogeografija ir geochronologija turi būti tikslinama gilinant iš jų vidinė sandara, plečiant kopų parametru rinkinį, reikalingą koreliacinei analizei, panaudojant kitos kilmės gretimų reljefo formų bei poledynmečio nuogulų biostratigrafinių tyrimų rezultatus.